## 2025年1月13日日向灘の地震 - 遠地実体波による震源過程解析(暫定)ー

2025年1月13日21時19分(日本時間)に日向灘で発生した地震について、米国大学間地震学研究連合(IRIS)のデータ管理センター(DMC)より広帯域地震波形記録を取得し、遠地実体波を用いた震源過程解析(注1)を行った。

破壊開始点は、この地震の約1秒前にほぼ同じ場所で発生した地震の震源の位置( $31^{\circ}$ 50.2'N、 $131^{\circ}$ 35.7'E、深さ 34km、気象庁による)とした。

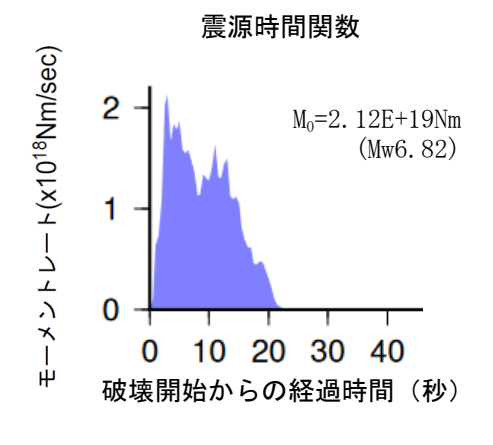
	発生時刻	震源
破壊開始点	1月13日21時19分31.6秒	31°50.2′N、131°35.7′E、深さ 34km
M <sub>JMA</sub> 6.6の地震	1月13日21時19分32.8秒	31°49.7′N、131°34.2′E、深さ 36km

断層面は、気象庁 CMT 解の 2 枚の節面のうち、北北東-南南西走向の西北西傾斜の節面(走向  $202^\circ$ 、傾斜  $28^\circ$ 、 すべり角  $83^\circ$ ) を仮定して解析した。最大破壊伝播速度は  $2.9 \, \text{km/s}$  とした。理論波形の計算には CRUST2.0 (Bassin et al., 2000) および IASP91 (Kennett and Engdahl, 1991) の地下構造モデルを用いた。

主な結果は以下のとおり(この結果は暫定であり、今後更新することがある)。

- ・主な破壊領域は走向方向に約20km、傾斜方向に約30kmであった。
- ・主なすべりは、破壊開始点から浅い領域に広がり、最大すべり量は 0.7m であった (周辺の構造 から剛性率を 50GPa として計算)。
- ・主な破壊継続時間は約15秒であった。
- ・モーメントマグニチュード (Mw) は 6.8 であった。

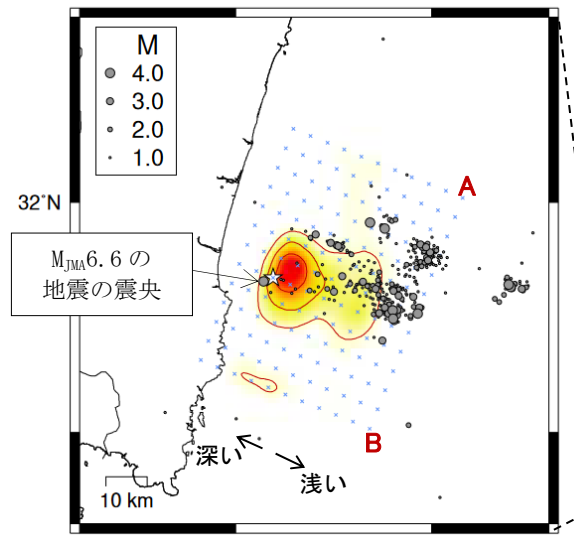
結果の見方は、https://www.data.jma.go.jp/eqev/data/world/about\_srcproc.htmlを参照。



断層面上でのすべり量分布 40 35 18 30 25 頃斜方向 (km) 24 20 15 10 账 30 5 0 36 -5 -10 -35-30-25-20-15-10-5 0 5 10 15 20 25 走向方向(km)

地図上での位置関係 132°E

星印は破壊開始点、矢印は下盤側に対する上盤側の動きを表す。

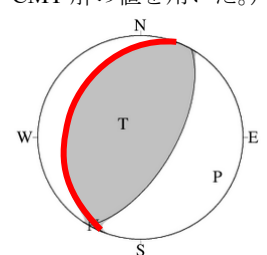


星印は破壊開始点を示す。灰色の丸は M6.6 の地震発生以降、24 時間以内に発生した地震 (M1.0 以上)の震央を示す。青線はプレート境界を示す。

130°E

## すべり量 小さい← →大きい

**解析に用いた断層パラメータ**: 走向 202°, 傾斜 28°, すべり角 83° (気象庁 CMT 解の値を用いた。)



解析に用いた断層パラメータを震源球の赤 線で示す。

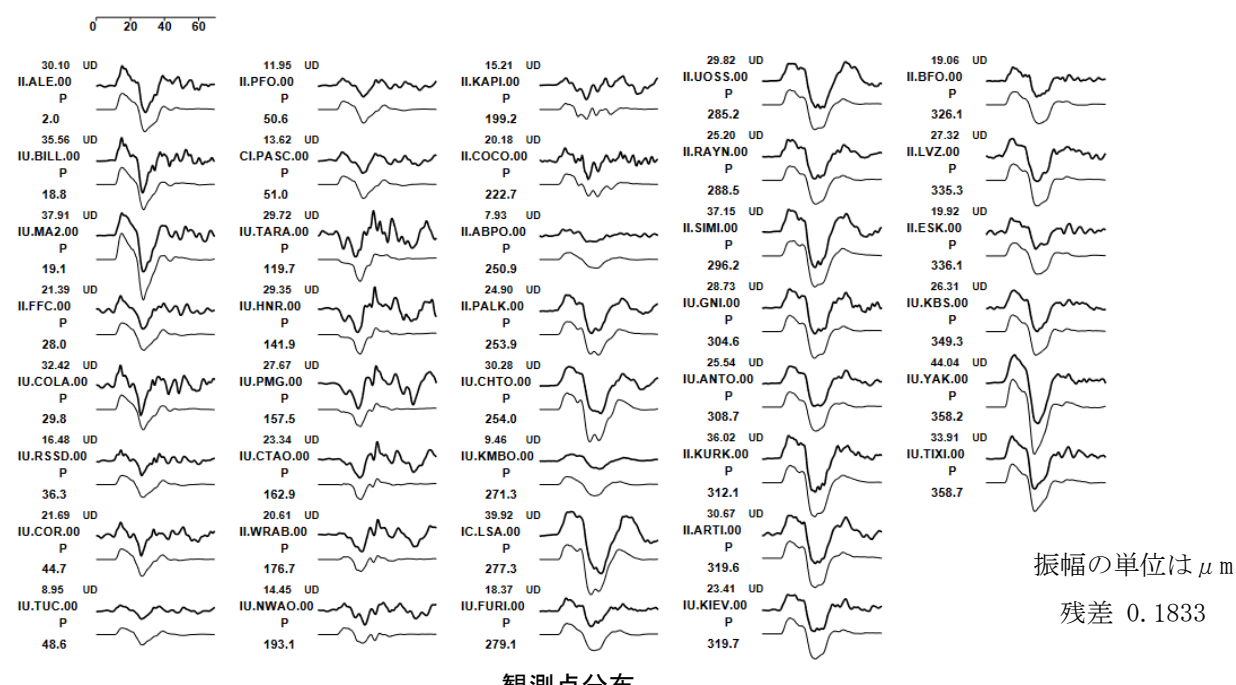
(注1)解析に使用したプログラム

M. Kikuchi and H. Kanamori, Note on Teleseismic Body-Wave Inversion Program, http://www.eri.u-tokyo.ac.jp/ETAL/KIKUCHI/

作成日:2025/2/3

観測波形 (上: 0.01Hz-0.5Hz) と理論波形 (下) の比較

(秒)





震央距離  $30^{\circ}$   $\sim 100^{\circ}$   $^{*1}$   $\sigma$  38 観測点 $^{*2}$  (P波: 38、SH波: 0) を使用。  $^{*1}$  : 近すぎると理論的に扱いづらくなる波の計算があり、逆に遠すぎると、液体である外核を通るため、直達波が到達しない。そのため、評価しやすい距離の波形記録のみを使用。

※2: IRIS-DMC より取得した広帯域地震波形記録を使用。

## 参考文献

Bassin, C., Laske, G. and Masters, G., 2000, The Current Limits of Resolution for Surface Wave Tomography in North America, EOS Trans AGU, 81, F897.

Kennett, B. L. N. and E. R. Engdahl, 1991, Traveltimes for global earthquake location and phase identification, Geophys. J. Int., 105, 429-465.

作成日:2025/2/3